

## НАПРУЖЕНИЙ СТАН ПРУЖНОГО ТІЛА З ЖОРСТКИМ ВКЛЮЧЕННЯМ У ВИГЛЯДІ ЛАМаноЇ ПРИ ГАРМОНІЧНОМУ ХВИЛЬОВОМУ НАВАНТАЖЕННІ\*

Розв'язано задачу про визначення напруженого стану в околі тунельного жорсткого включення з перерізом у вигляді ламаної лінії. Включення міститься у пружному просторі, в якому поширюються плоскі гармонічні хвилі поздовжнього зсуву. Задачу зведено до системи сингулярних інтегральних рівнянь з нерухомими особливостями, яку розв'язано наближено за допомогою числового методу, що враховує реальну асимптотику невідомих функцій з використанням спеціальних квадратурних формул для сингулярних інтегралів.

**Ключові слова:** пружний простір, жорстке тунельне включення, системи сингулярних інтегральних рівнянь, нерухоми особливості.

**Вступ.** Проблему визначення двовимірного динамічного напруженого стану в тілах з тонкими дефектами у вигляді відрізків прямої або дуги гладкої кривої на сьогоднішній час можна вважати вирішеною. Однак реальні дефекти бувають складнішої конфігурації, наприклад, з перетинами, розгалуженнями або у вигляді кусково-гладких кривих. Задачі про визначення напруженого стану в тілах з такими дефектами вивчено значно гірше, що, на нашу думку, пов'язано з математичними труднощами при їх розв'язанні за допомогою методу інтегральних рівнянь, зокрема, при зведенні останніх до сингулярних інтегральних рівнянь з нерухомими особливостями. Найбільш дослідженими є задачі рівноваги тіл з тріщинами. У роботах [1, 14] вдалось отримати точні розв'язки і визначити коефіцієнт інтенсивності напружень (КІН) методом Вінера – Хопфа для тіл із розгалуженими тріщинами. В [2, 6, 15] вивчено напружений стан поблизу розгалужених, ламаних і крайових тріщин за допомогою числових методів. Методом граничних інтегральних рівнянь досліджено напружений стан тіл з включеннями у вигляді ламаної або розгалужених включень у [3, 7]. Ці роботи об'єднує те, що при побудові числових розв'язків не враховується справжня асимптотика розв'язків, яка внаслідок наявності нерухомих особливостей є відмінною від кореневої.

У [8, 9] досліджено взаємодію плоских гармонічних хвиль з двома тріщинами, що виходять з однієї точки, і з тріщиною у вигляді триланкової ламаної. Для розв'язання отриманих при цьому систем сингулярних інтегро-диференціальних рівнянь з нерухомими особливостями запропоновано числовий метод, що враховує справжні особливості розв'язків і ґрунтується на застосуванні спеціальних квадратурних формул для сингулярних інтегралів. Тут цей метод поширено для розв'язання задачі про взаємодію хвиль поздовжнього зсуву з включенням, що є ламаною в перерізі.

**1. Постановка задачі.** Нехай ізотропне пружне тіло перебуває в умовах антиплоскої деформації та містить абсолютно жорстке тунельне включення, яке в перерізі  $xOy$  є ламаною, складеною з  $N$  ланок довжини  $2d_k$ ,

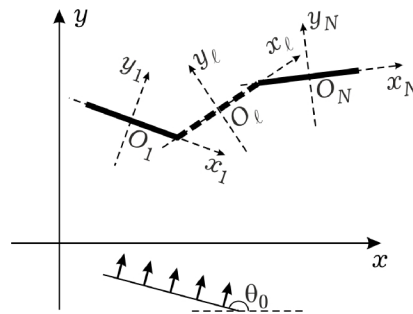


Рис. 1

<sup>✉</sup> dr.vg.popov@gmail.com

\* Рекомендовано до друку Програмним комітетом 10-ї Міжнародної наукової конференції «Математичні проблеми механіки неоднорідних структур» (17–20 вересня 2019 р., Львів, Україна, <http://iapmm.lviv.ua/mpmns2019>)

$k = 1, 2, \dots, N$  (рис. 1). У тілі поширюються гармонічні хвилі поздовжнього зсуву, що спричиняють переміщення вздовж осі  $Oz$

$$W_k^0(x, y) = A \exp(i\alpha_2(x \cos \theta_0 + y \sin \theta_0)), \quad \alpha_2^2 = \frac{\rho\omega^2}{G}, \quad k = 1, \dots, N, \quad (1)$$

де  $G$ ,  $\rho$  – модуль зсуву та густина середовища,  $\omega$  – частота коливань,  $\theta_0$  – кут між напрямком поширення хвилі та віссю  $Ox$ . Залежність від часу визначається множником  $\exp(-i\omega t)$ , який тут і надалі відкинуто.

Нехай  $W(x, y) - z$ -компонента вектора переміщень розсіяного хвильового поля, яка є єдиною відмінною від нуля компонентою цього вектора за антиплоскої деформації і в системі координат  $xOy$  задовольняє рівняння Гельмгольца

$$\Delta W + \alpha_2^2 W = 0, \quad (2)$$

де  $\Delta$  – оператор Лапласа.

Для формулювання межових умов на включенні пов'яжемо з кожною його ланкою локальну систему координат  $O_\ell x_\ell y_\ell$ ,  $\ell = 1, 2, \dots, N$ , так, що вісь  $O_\ell x_\ell$  спрямовано вздовж відповідної ланки включення, а середину ланки взято за початок координат  $O_\ell(a_\ell, b_\ell)$ . Зв'язок між системами координат визначимо формулами

$$\begin{cases} x = a_k + x_k \cos \beta_k - y_k \sin \beta_k, \\ y = b_k + x_k \sin \beta_k + y_k \cos \beta_k; \end{cases}$$

$$\begin{cases} x_\ell = (x - a_\ell) \cos \beta_\ell + (y - b_\ell) \sin \beta_\ell, \\ y_\ell = -(x - a_\ell) \sin \beta_\ell + (y - b_\ell) \cos \beta_\ell; \end{cases}$$

$$\begin{cases} x_k = A_{\ell k} + x_\ell \cos \beta_{\ell k} - y_\ell \sin \beta_{\ell k}, \\ y_k = B_{\ell k} + x_\ell \sin \beta_{\ell k} + y_\ell \cos \beta_{\ell k}; \end{cases}$$

$$A_{\ell k} = (a_\ell - a_k) \cos \beta_k + (b_\ell - b_k) \sin \beta_k,$$

$$B_{\ell k} = -(a_\ell - a_k) \sin \beta_k + (b_\ell - b_k) \cos \beta_k,$$

$$\beta_{\ell k} = \beta_\ell - \beta_k, \quad k, \ell = 1, \dots, N. \quad (3)$$

Тут  $\beta_\ell$  – кут нахилу ланки з номером  $\ell$  відносно осі  $Ox$ .

Межові умови з боку зовнішнього середовища на включенні, з огляду на його малу товщину  $h$ , запишемо відносно серединної поверхні. Припустимо, що включення та пружне середовище контактують ідеально, тобто

$$W_\ell^1(x_\ell, 0) = c - W_\ell^0(x_\ell, 0), \quad W_\ell^0(x_\ell, 0) = A \exp(i\alpha_2 z_{0\ell}),$$

$$z_{0\ell} = a_\ell \cos \theta_0 + b_\ell \sin \theta_0 + x_\ell \cos(\beta_\ell - \theta_0) - y_\ell \sin(\beta_\ell - \theta_0),$$

$$\ell = 1, \dots, N. \quad (4)$$

На включенні ж припускаємо розрив дотичних напружень:

$$\tau_{zy_\ell}(x_\ell, +0) - \tau_{zy_\ell}(x_\ell, -0) = \chi_\ell(x_\ell), \quad -d_\ell < x_\ell < d_\ell, \quad \ell = 1, \dots, N, \quad (5)$$

де  $\chi_\ell(x_\ell)$  – невідомий стрибок дотичних напружень на  $\ell$ -й ланці включення.

До рівностей (4) входить невідоме переміщення  $c$  включення під дією падаючої хвилі. Його визначимо з рівняння руху включення, яке у випадку гармонічних коливань має вигляд

$$-\omega^2 c \sum_{\ell=1}^N m_\ell = \sum_{\ell=1}^N \int_{-d_\ell}^{d_\ell} \chi_\ell(\eta) d\eta, \quad (6)$$

де  $m_\ell$  – маса ланки включення з номером  $\ell = 1, \dots, N$ .

**2. Розв’язання задачі.** Для розв’язання задачі (1)–(6) для кожної ланки включення з номером  $\ell$  у системі координат  $O_\ell x_\ell y_\ell$  побудуємо розривний розв’язок рівняння (2) зі стрибком (5) [10, 11]

$$W_\ell^1(x_\ell, y_\ell) = \int_{-d_\ell}^{d_\ell} \frac{\chi_\ell(\eta)}{G} r_2(\eta - x_\ell, y_\ell) d\eta, \\ r_2(\eta - x_\ell, y_\ell) = \frac{i}{4} H_0^{(1)} \left( \alpha_2 \sqrt{(\eta - x_\ell)^2 + y_\ell^2} \right). \quad (7)$$

Тут  $H_0^{(1)}$  – функція Ганкеля. Після цього переміщення розсіяного хвильового поля в перерізі  $xOy$  подамо у вигляді

$$W(x, y) = \sum_{\ell=1}^N W_\ell^g(x, y), \quad (8)$$

де  $W_\ell^g(x, y)$  отримано з (7) внаслідок перетворення координат за формулами (3) при  $k = \ell$ .

Щоб скористатись формулами (8), потрібно визначити невідомі стрибки напружень на ланках включення за допомогою умов (4). Для цього їх попередньо замінимо двома еквівалентними рівностями

$$\frac{\partial W_\ell^1(x_\ell, 0)}{\partial x_\ell} = -\frac{\partial W_\ell^0(x_\ell, 0)}{\partial x_\ell}, \quad W_\ell^1(-d_\ell, 0) = c - W_\ell^0(-d_\ell, 0), \\ \ell = 1, \dots, N. \quad (9)$$

Перша рівність (9) є результатом диференціювання першої рівності (4), а друга – умова еквівалентності продиференційованої і вихідної рівностей. Після перетворення координат у (8) за допомогою останніх формул (3) і підстановки в (9) отримаємо систему сингулярних інтегральних рівнянь із додатковими умовами:

$$\int_{-1}^1 \left( -\frac{\mathbf{E}}{\tau - \zeta} + \mathbf{Q}(\tau, \zeta) + \mathbf{R}(\tau, \zeta) \right) \Phi(\tau) d\tau = \mathbf{F}(\zeta), \quad -1 < \zeta < 1, \\ \int_{-1}^1 (\mathbf{U} \ln|\tau - 1| + \mathbf{D}(\tau)) \Phi(\tau) d\tau = \mathbf{F}_0. \quad (10)$$

Тут  $\mathbf{E}$  – одинична матриця порядку  $N \times N$ ,  $\mathbf{U}$  – діагональна матриця порядку  $N \times N$  з елементами  $\gamma_1, \dots, \gamma_N$  на головній діагоналі,

$$\mathbf{Q}(\tau, \zeta) = \begin{pmatrix} 0 & q_{12} & 0 & 0 & \dots & 0 & 0 & 0 \\ q_{21} & 0 & q_{23} & 0 & \dots & 0 & 0 & 0 \\ 0 & q_{32} & 0 & q_{34} & \dots & 0 & 0 & 0 \\ \vdots & \vdots & \vdots & \vdots & \dots & \vdots & \vdots & \vdots \\ 0 & 0 & 0 & 0 & \dots & q_{N-1, N-2} & 0 & q_{N-1, N} \\ 0 & 0 & 0 & 0 & \dots & 0 & q_{N, N-1} & 0 \end{pmatrix},$$

$$\Phi(\tau) = \begin{pmatrix} \varphi_1(\tau) \\ \varphi_2(\tau) \\ \vdots \\ \varphi_N(\tau) \end{pmatrix}, \quad \varphi_\ell(\tau) = \frac{\chi_\ell(d_\ell \tau)}{G}, \quad \mathbf{F}(\zeta) = \begin{pmatrix} f_1(\zeta) \\ f_2(\zeta) \\ \vdots \\ f_N(\zeta) \end{pmatrix}, \quad \mathbf{F}_0 = \begin{pmatrix} f_{10} \\ f_{20} \\ \vdots \\ f_{N0} \end{pmatrix},$$

$$f_\ell(\zeta) = -2\pi i A_0 x_0 \cos(\beta_\ell - \theta_0) \exp(i x_0 r_{0\ell}(\zeta)), \quad x_0 = x_2 d,$$

$$f_{\ell 0} = c_0 - A_0 \exp(i x_0 r_{0\ell}(-1)),$$

$$r_{0\ell}(\zeta) = \varepsilon_\ell \cos \theta_0 + \delta_\ell \sin \theta_0 + \gamma_\ell \zeta \cos(\beta_\ell - \theta_0),$$

$$\mathbf{R}(\tau, \zeta) = \{R_{\ell k}(\tau, \zeta)\}, \quad \mathbf{D}(\tau) = \left\{ D_{\ell k}(\tau) + \frac{\pi}{\ell_0} \right\}, \quad \ell_0 = \bar{\rho} \varepsilon x_0^2 \sum_{\ell=1}^N \gamma_\ell,$$

$$\eta = d_\ell \tau, \quad x_\ell = d_\ell \zeta, \quad \gamma_\ell = \frac{d_\ell}{d}, \quad \varepsilon_\ell = \frac{a_\ell}{d}, \quad \delta_\ell = \frac{b_\ell}{d}, \quad d = \max(d_1, \dots, d_N),$$

$$q_{\ell\ell\mp 1}(\tau, \zeta) = \frac{\gamma_{\ell\mp 1}(\gamma_\ell(\zeta \pm 1) - \gamma_{\ell\mp 1}(\tau \mp 1) \cos \beta_{\ell\ell\mp 1})}{s_{\ell\ell\mp 1}(\tau, \zeta)},$$

$$s_{\ell\ell\mp 1} = \gamma_{\ell\mp 1}^2 (\tau \mp 1)^2 - 2\gamma_\ell \gamma_{\ell\mp 1} (\tau \mp 1)(\zeta \pm 1) \cos \beta_{\ell\ell\mp 1} + \gamma_\ell^2 (\zeta \pm 1)^2. \quad (11)$$

Функції  $q_{\ell\ell\mp 1}(\tau, \zeta)$ , які визначають ненульові елементи матриці  $\mathbf{Q}(\tau, \zeta)$ , мають особливості при  $\tau = \pm 1$ ,  $\zeta = \mp 1$ . Матриці  $\mathbf{R}(\tau, \zeta)$  і  $\mathbf{D}(\tau)$  складаються з функцій, що визначають регулярні інтеграли. До системи (10) необхідно додати рівність (6) для визначення невідомої амплітуди

$$c_0 = -\frac{1}{2\ell_0} \sum_{\ell=1}^N \gamma_\ell \int_{-1}^1 \varphi_\ell(\tau) d\tau, \quad c_0 = \frac{c}{d}, \quad \bar{\rho} = \frac{\rho_1}{\rho}, \quad \varepsilon = \frac{h}{d}, \quad (12)$$

де  $\rho_1$ ,  $h$  – відповідно густина матеріалу і товщина включення.

**3. Наближене розв'язання системи інтегральних рівнянь.** Наявність у сингулярній складовій інтегральних рівнянь (10) нерухомих особливостей при  $\tau = -1$ ,  $\zeta = 1$  та  $\tau = 1$ ,  $\zeta = -1$  впливає на поведінку її розв'язків в околі точок  $\tau = \pm 1$ . Їхню асимптотику в околі цих точок визначимо з використанням підходу [4, 9]. Шукатимемо невідомі функції у вигляді

$$\varphi_\ell(\tau) = (1 - \tau)^{-\sigma_{\ell+1}} (1 + \tau)^{-\sigma_\ell} \psi_\ell(\tau),$$

$$\sigma_1 = \sigma_{N+1} = \frac{1}{2}, \quad \sigma_\ell = \begin{cases} \frac{\alpha_{\ell-1}}{\alpha_{\ell-1} - \pi}, & -\pi \leq \alpha_{\ell-1} < 0, \\ \frac{\alpha_{\ell-1}}{\alpha_{\ell-1} + \pi}, & 0 \leq \alpha_{\ell-1} < \pi, \end{cases}$$

$$\alpha_{\ell-1} = \beta_\ell - \beta_{\ell-1}, \quad 0 \leq \beta_\ell < \pi. \quad (13)$$

Розглянемо функції

$$\psi_{0\ell}(\tau) = \psi_\ell(\tau) - \frac{\psi_\ell(-1)}{2}(1 - \tau) - \frac{\psi_\ell(1)}{2}(1 + \tau). \quad (14)$$

Тоді  $\psi_{0\ell}(\pm 1) = 0$  і

$$\psi_{0\ell}(\tau) = (1 - \tau)^2 g_\ell(\tau), \quad (15)$$

де  $g_\ell(\tau)$  – нові невідомі функції, що задовольняють умови Гельдера при  $\tau \in (-1, 1)$ .

Підстановка (14), (15) у (13) приводить до такого подання невідомих функцій:

$$\begin{aligned} \varphi_\ell(\tau) = & (1-\tau)^{\sigma_{\ell+1}}(1+\tau)^{1-\sigma_\ell} g_\ell(\tau) + (1-\tau)^{1-\sigma_{\ell+1}}(1+\tau)^{-\sigma_\ell} \frac{\Psi_\ell(-1)}{2} + \\ & + (1-\tau)^{-\sigma_{\ell+1}}(1+\tau)^{1-\sigma_\ell} \frac{\Psi_\ell(1)}{2}. \end{aligned} \quad (16)$$

Далі наближений метод розв'язання ґрунтується на апроксимації функцій  $g_\ell(\tau)$  інтерполяційним многочленом  $(n-1)$ -го степеня

$$g_\ell(\tau) \approx g_{\ell, n-1}(\tau) = \sum_{m=1}^n g_{m\ell} \frac{Q_{n\ell}(\tau)}{(\tau - \tau_{m\ell}) Q'_{n\ell}(\tau_{m\ell})}, \quad g_{m\ell} = g_\ell(\tau_{m\ell}), \quad (17)$$

де  $Q_{n\ell}(\tau) = P_n^{1-\sigma_{\ell+1}, 1-\sigma_\ell}(\tau)$  – многочлени Якобі,  $\tau_{m\ell}$  – корені цих многочленів. Це дає можливість використати для інтегралів з ядром Коші квадратурні формули [1, 6]

$$\int_{-1}^1 \frac{\varphi_\ell(\tau)}{\tau - \zeta_{j\ell}} d\tau = \sum_{m=1}^n g_{m\ell} \frac{A_{m\ell}}{\tau_{m\ell} - \zeta_{j\ell}} + \frac{\Psi_\ell(-1)}{2} b_{j\ell}^- + \frac{\Psi_\ell(1)}{2} b_{j\ell}^+, \quad (18)$$

де  $\zeta_{j\ell}$  – корені функцій Якобі другого роду  $J_n^{1-\sigma_{\ell+1}, 1-\sigma_\ell}(\zeta)$ ,  $j = 1, \dots, n+1$ , а  $A_{m\ell}$  – коефіцієнти відповідної квадратурної формули Гаусса – Якобі [4].

Для отримання формул (18) інтеграли

$$b_{j\ell}^- = \int_{-1}^1 \frac{(1-\tau)^{1-\sigma_{\ell+1}}(1+\tau)^{-\sigma_\ell}}{\tau - \zeta_{j\ell}} d\tau, \quad b_{j\ell}^+ = \int_{-1}^1 \frac{(1-\tau)^{-\sigma_{\ell+1}}(1+\tau)^{1-\sigma_\ell}}{\tau - \zeta_{j\ell}} d\tau$$

знайдено за допомогою методу [12], що ґрунтується на їх поданні згортокою Мелліна. Застосування теореми про згортку дає можливість подати ці інтеграли у вигляді суми лишків у полюсах, звідки

$$\begin{aligned} b_{j\ell}^\pm = & \pm 2^{1-\sigma_\ell - \sigma_{\ell+1}} \Gamma(2 - v^\pm - \sigma_{\ell+1}) \times \\ & \times \left( y^{v^\pm - \sigma_\ell} \operatorname{ctg}(\pi\sigma_\ell) \sin(\pi\sigma_{\ell+v^\pm}) \sum_{k=0}^{\infty} \frac{\Gamma(k + v^\pm + \sigma_{\ell+v^\pm}) y^k}{k!(k + \sigma_{\ell+1} - v^\pm)} + \right. \\ & \left. + \frac{\sin(\pi(\sigma_\ell + \sigma_{\ell+1}))}{\sin(\pi\sigma_\ell)} \sum_{k=0}^{\infty} \frac{\Gamma(k + \sigma_\ell + \sigma_{\ell+1}) y^k}{(1-k - \sigma_\ell - \sigma_{\ell+1}) \Gamma(k + \sigma_\ell + v^\pm)} \right), \\ & y = (1 \pm \zeta_{j\ell}) / 2, \quad v^\pm = (1 \pm 1) / 2. \end{aligned}$$

Квадратурні формули (18) дозволяють наближений розв'язок (10) знайти методом механічних квадратур з використанням коренів функцій Якобі як точок колокації. Але для цього потрібні квадратурні формули для інтегралів з нерухомими особливостями

$$E_\ell^\pm = \int_{-1}^1 q_{\ell\ell\pm 1}(\tau, \zeta_{j\ell}) \varphi_{\ell\pm 1}(\tau) d\tau, \quad \ell + 1 = 2, \dots, N, \quad \ell - 1 = 1, \dots, N - 1.$$

Якщо  $1 \pm \zeta_{j\ell} > r > 0$ , де  $r$  – деяке число, то для обчислення цих інтегралів можна безпосередньо застосовувати формули Гаусса – Якобі. При  $1 \pm \zeta_{j\ell} \rightarrow +0$  використаємо [5, 6] подання (6) та апроксимації (17):

$$\begin{aligned} E_\ell^\pm = & \sum_{m=1}^n \frac{g_{m\ell\pm 1}}{Q'_{n\ell\pm 1}(\tau_{m\ell\pm 1})} \int_{-1}^1 \frac{q_{\ell\ell\pm 1}(\tau, \zeta)}{\tau - \tau_{m\ell\pm 1}} v_{\ell\pm 1}(\tau) Q_{n\ell\pm 1}(\tau) d\tau + \\ & + \frac{\Psi_\ell(-1)}{2} s_{\ell\ell\pm 1}^- + \frac{\Psi_\ell(1)}{2} s_{\ell\ell\pm 1}^+, \end{aligned}$$

$$v_{\ell\pm 1}(\tau) = (1 - \tau)^{1-\sigma_{\ell+1}}(1 + \tau)^{1-\sigma_{\ell}}, \quad (19)$$

$$s_{j\ell\pm 1}^{\pm} = \int_{-1}^1 q_{\ell\ell\pm 1}(\tau, \zeta_{j\ell})(1 - \tau)^{\nu^{\mp}-\sigma_{\ell+1}}(1 + \tau)^{\nu^{\pm}-\sigma_{\ell}} d\tau. \quad (20)$$

В інтегралах (19) подамо підінтегральні функції у вигляді

$$\frac{q_{\ell\ell\pm 1}(\tau, \zeta)}{\tau - \tau_{m\ell\pm 1}} = \frac{q_{\ell\ell\pm 1}(\tau_{m\ell\pm 1}, \zeta)}{\tau - \tau_{m\ell\pm 1}} - \frac{\gamma_{\ell\pm 1}^2(\tau_{m\ell} \pm 1)q_{\ell\pm 1}(\tau, \zeta)}{s_{\ell\ell\pm 1}(\tau_{\ell\pm 1}, \zeta)} - \frac{\gamma_{\ell}\gamma_{\ell\pm 1}(\zeta \mp 1)q_{\ell\pm 1}(\tau, \zeta)}{s_{\ell\ell\pm 1}(\tau_{\ell\pm 1}, \zeta)}. \quad (21)$$

Після підстановки (21) в (19) отримані інтеграли обчислимо з використанням методу [5, 6], що базується на застосуванні інтегрального перегворення Мелліна, звідки

$$\begin{aligned} \int_{-1}^1 \frac{Q_{n\ell\pm 1}(\tau)v_{\ell\pm 1}(\tau)}{\tau - \tau_{m\ell\pm 1}} d\tau &= Q'_{n\ell\pm 1}(\tau_{m\ell\pm 1})A_{m\ell\pm 1}, \\ I^{\pm}(\tau, \zeta) &= \int_{-1}^1 q_{\ell\ell\pm 1}(\tau, \zeta)v_{\ell\pm 1}(\tau)Q_{n\ell\pm 1}(\tau)d\tau = \frac{\mp(\pm 1)^n}{\gamma_{\ell\pm 1}} B_n^{(1)}(\sigma_{\ell}, \sigma_{\ell+1}, \beta_{\ell\ell\pm 1}, y), \\ I^{\pm}(\zeta, \tau) &= \int_{-1}^1 q_{\ell\ell\pm 1}(\zeta, \tau)v_{\ell\pm 1}(\tau)Q_{n\ell\pm 1}(\tau)d\tau = \frac{\pm(\pm 1)^n}{\gamma_{\ell\pm 1}} B_n^{(2)}(\sigma_{\ell+1}, \sigma_{\ell}, \beta_{\ell\ell\pm 1}, y), \\ B_n^{(v)}(\alpha, \beta, \theta, Y) &= \frac{2^{2-\alpha-\beta}\Gamma(2+n-\beta)}{n!} \times \\ &\times \left( -y^{1-\alpha} \frac{\sin \pi\beta}{\sin \pi\alpha} \sum_{p=0}^{\infty} p C_{pn} \cos(\theta(p+3-v-\alpha)) Y^p + \right. \\ &\left. + \frac{\sin \pi(\alpha+\beta)}{\sin \pi\alpha} \sum_{p=0}^{\infty} D_{pn} \cos(\theta(p+2-v)) Y^p \right), \quad Y = \frac{1 \mp \zeta}{\gamma_{\ell\pm 1}}, \\ C_{pn} &= \frac{\Gamma(p+n+2-\alpha)\Gamma(p-n+\beta)}{(p-n-1+\beta)\Gamma(p+2-\beta)} \frac{(-1)^p}{p!}, \\ D_{pn} &= \frac{\Gamma(p+n+1)\Gamma(p-n-1+\alpha+\beta)}{(p-n+v-3+\alpha+\beta)\Gamma(p+2-\alpha)} \frac{(-1)^p}{p!}, \\ E_{j\ell}^{\pm} &= \sum_{m=1}^n \frac{g_{m\ell} H_{jm}^{\ell\ell\pm 1}}{s_{\ell\ell\pm 1}(\tau_{m\ell\pm 1}, \zeta_{j\ell})} + \frac{\Psi_{\ell}(-1)}{2} s_{\ell\ell\pm 1}^- + \frac{\Psi_{\ell}(1)}{2} s_{\ell\ell\pm 1}^+, \quad (22) \\ H_{jm}^{\ell\ell\pm 1} &= \frac{1}{Q'_{n\ell}(\tau_{m\ell\pm 1})} \left( q_{\ell\ell\pm 1}(\tau_{m\ell\pm 1}, \zeta_{j\ell\mp 1}) Q'_{n\ell}(\tau_{m\ell\pm 1}) A_{m\ell\pm 1} - \right. \\ &\quad - \frac{\gamma_{\ell}\gamma_{\ell\pm 1}(\zeta_{j\ell\mp 1} \mp 1)}{Q_{n\ell}(\tau_{m\ell\pm 1}, \zeta_{j\ell\mp 1})} I^{\pm}(\zeta_{j\ell\mp 1}, \tau_{m\ell\pm 1}) - \\ &\quad \left. - \frac{\gamma_{\ell\pm 1}^2(\tau_{m\ell} \pm 1)}{Q_{n\ell}(\tau_{m\ell\pm 1}, \zeta_{j\ell\mp 1})} I^{\pm}(\tau_{m\ell\pm 1}, \zeta_{j\ell\mp 1}) \right). \end{aligned}$$

Аналогічно при  $1 \pm \zeta_{j\ell} \rightarrow +0$  обчислимо інтеграли (20)

$$s_{j\ell\pm 1}^{\pm} = 2^{1-\sigma_{\ell}-\sigma_{\ell+1}} \Gamma(2 - \nu^{\pm} - \sigma_{\ell+1}) \times$$

$$\begin{aligned} & \times \left( \frac{\sin \pi \sigma_{\ell+1}}{\sin \pi \sigma_{\ell}} \right)^{+1} \left( \frac{y}{\gamma_{\ell\ell+1}} \right)^{v^{\pm} - \sigma_{\ell}} \times \\ & \times \sum_{p=0}^{\infty} C^{\pm} \cos((\sigma_{\ell} - p - 1 - v^{\pm})\beta_{\ell+1}) \left( \frac{y}{\gamma_{\ell\ell+1}} \right)^p \pm \\ & \pm \frac{\sin \pi(\sigma_{\ell} + \sigma_{\ell+1})}{\sin \pi \sigma_{\ell}} \sum_{p=0}^{\infty} D^{\pm} \cos((p+1)\beta_{\ell+1}) \left( \frac{y}{\gamma_{\ell\ell+1}} \right)^p \Big), \\ & s_{\ell\ell+1}^{\pm} = -s_{\ell\ell-1}^{\mp}, \end{aligned}$$

$$\begin{aligned} C^{\pm} &= \frac{\Gamma(p + \sigma_{\ell+1} + v^{\pm}) (-1)^p}{p + \sigma_{\ell+1} - v^{\mp}} \frac{(-1)^p}{p!}, \\ D^{\pm} &= \frac{\Gamma(p + \sigma_{\ell} + \sigma_{\ell+1}) (-1)^p}{(p + \sigma_{\ell} + \sigma_{\ell+1} - 1) \Gamma(p + \sigma_{\ell} + v^{\mp})}. \end{aligned}$$

Для інтегралів з логарифмічною функцією невідомі функції  $g_{\ell}(\tau)$  наближаємо інтерполяційними многочленами (17), які попередньо перетворено за тотожністю Дарбу – Кристоффеля [13]. Після цього, аналогічно як в [6, 10], отримуємо формули

$$\int_{-1}^1 \varphi_{\ell}(\tau) \ln |\tau \pm 1| d\tau = \sum_{m=1}^n A_{m\ell} g_{m\ell} \theta_{m\ell} + \frac{\Psi_{\ell}(-1)}{2} E_{\ell}^{-} + \frac{\Psi_{\ell}(1)}{2} E_{\ell}^{+}, \quad (23)$$

де

$$\begin{aligned} \theta_{m\ell} &= \sum_{s=0}^{n-1} \frac{u_{s\ell}}{\sigma_s^2} Q_{s\ell}(\tau_{m\ell}), \\ u_{s\ell} &= \int_{-1}^1 (1-\tau)^{1-\sigma_{\ell+1}} (1+\tau)^{1-\sigma_{\ell}} Q_{s\ell}(\tau) \ln |\tau \pm 1| d\tau. \end{aligned}$$

Останні інтеграли визначаємо у вигляді [12]

$$\begin{aligned} u_{0\ell} &= \frac{2^{3-\sigma_{\ell}-\sigma_{\ell+1}} \Gamma(2-\sigma_{\ell}) \Gamma(2-\sigma_{\ell+1})}{\Gamma(4-\sigma_{\ell}-\sigma_{\ell+1})} \times \\ & \times (\ln 2 + \Psi(2-\sigma_{\ell+1}) - \Psi(4-\sigma_{\ell}-\sigma_{\ell+1})), \\ u_{s\ell} &= -\frac{2^{2-\sigma_{\ell}-\sigma_{\ell+1}} \Gamma(2-\sigma_{\ell}+s) \Gamma(2-\sigma_{\ell+1})}{s \Gamma(4-\sigma_{\ell}-\sigma_{\ell+1}+s)}. \end{aligned}$$

Тут  $\Psi(x)$  – логарифмічна похідна  $\Gamma$ -функції. Аналогічно знаходимо

$$\begin{aligned} E_{\ell}^{\pm} &= \int_{-1}^1 \ln |\tau \pm 1| (1-\tau)^{v^{\mp}-\sigma_{\ell+1}} (1+\tau)^{v^{\pm}-\sigma_{\ell}} d\tau, \\ E_{\ell}^{\pm} &= \frac{2^{2-\sigma_{\ell}-\sigma_{\ell+1}} \Gamma(1+v^{\mp}-\sigma_{\ell}) \Gamma(1+v^{\pm}-\sigma_{\ell+1})}{\Gamma(3-\sigma_{\ell}-\sigma_{\ell+1})} \times \\ & \times (\ln 2 + \Psi(1+v^{\pm}-\sigma_{\ell+1}) - \Psi(3-\sigma_{\ell}-\sigma_{\ell+1})). \end{aligned}$$

Знайдені формули для сингулярних інтегралів (18), (22), (23) і квадратурні формули Гауса – Якобі для інтегралів з регулярними ядрами дозволяють замінити (10) системою лінійних алгебраїчних рівнянь. У результаті її розв'язання знаходимо  $g_{m\ell} = g(\tau_{m\ell})$ ,  $\psi_{\ell}(\pm 1)$ ,  $\ell = 1, \dots, N$ ,  $c_0$ . Після цього наближений розв'язок системи (10) визначаємо за формулами (12), (16).

Однією з важливих характеристик напруженого стану поблизу включення є коефіцієнт інтенсивності напружень (КІН). Він визначається з відомого асимптотичного подання [2, 15] напружень в околі кінців включення. З урахуванням (11), (16) після обчислення границь знаходимо прості формули для безпосереднього визначення КІН:

$$K_1 = G\sqrt{d_1} \frac{\Psi_1(-1)}{2^{\sigma_2}}, \quad K_2 = G\sqrt{d_N} \frac{\Psi_N(1)}{2^{\sigma_N}}.$$

#### 4. Результати числового аналізу.

Для демонстрації можливостей запропонованого методу розглянуто триланкове абсолютно жорстке включення з ланками однакової довжини  $d$ , що є симетричними відносно осі  $Oy$  (рис. 2). На основі отриманих формул побудовано графіки залежності КІН та амплітуди коливань включення від безрозмірного хвильового числа  $\alpha_0$ , а також досліджено практичну збіжність запропонованого методу числового розв'язання інтегральних рівнянь. Внаслідок симетрії  $K_1 = K_2 = K$ .

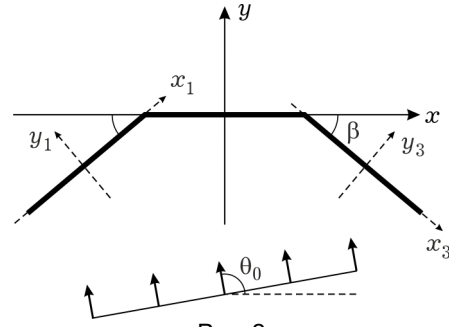


Рис. 2

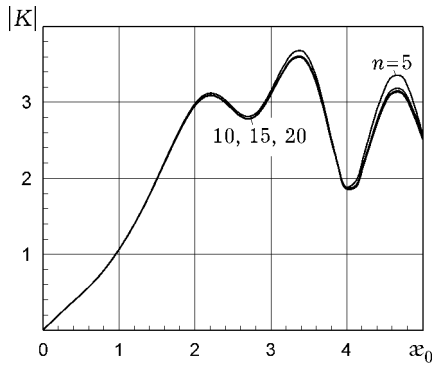


Рис. 3

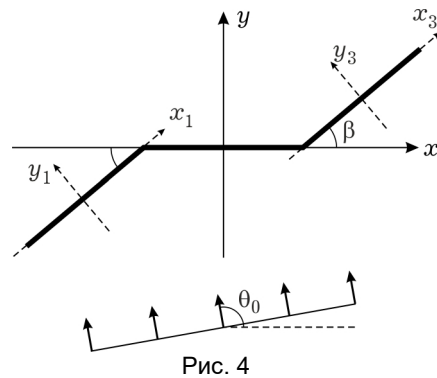
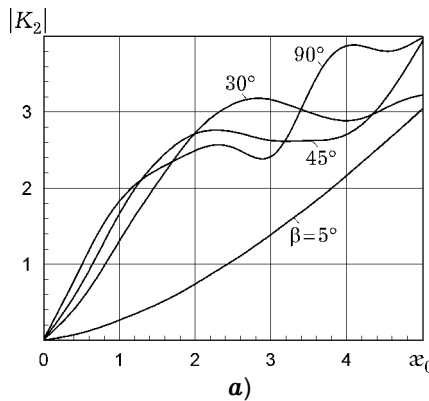
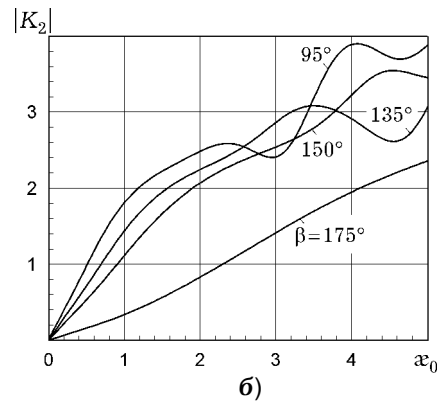


Рис. 4



а)



б)

Рис. 5

Результати наведено на рис. 3 у вигляді залежностей КІН  $|K|$  від  $\alpha_0$ , де кожна крива відповідає вказаній кількості вузлів інтерполяції. Розрахунки виконано при  $\theta_0 = 270^\circ$  і  $\beta = 45^\circ$ . Показано, що для отримання значень КІН з похибкою, що не перевищує 0.1%, можна брати до 20 вузлів інтерполяції в (17). Для хвиль із малою частотою  $\alpha_0 \leq 3$  достатньо 5 вузлів.



Для дослідження впливу на значення КІН форми включення розглянуто включення, зображене на рис. 4. Відношення довжин ланок взято з попереднього випадку. Досліджено вплив кута  $\beta$  на залежність КІН від частоти. За такого розташування ланок включення побудовано графіки залежності КІН від  $\alpha_0$  при  $\theta_0 = 270^\circ$  (рис. 5).

Аналіз графіків на рис. 5а, рис. 5б вказує на те, що у випадку, коли ланки включення розташовані практично на одній прямій, значення КІН монотонно зростають. З ростом кута між ланками включення і віссю  $Ox$  залежність КІН від  $\alpha_0$  ускладнюється, при цьому існують частоти, за яких КІН набувають максимальних значень. На рис. 6 наведено графіки залежності амплітуди  $|c|$  від  $\alpha_0$  при зміні кута  $\beta$  та поширенні падаючої хвилі під кутом  $\theta_0 = 90^\circ$ . Найбільшого значення амплітуда набуває, коли ланки включення розташовані майже на одній прямій. Зі зростанням кута між ланками включення та віссю  $Ox$  значення амплітуди зменшуються і мають залежність від  $\alpha_0$ , відмінну від монотонної.

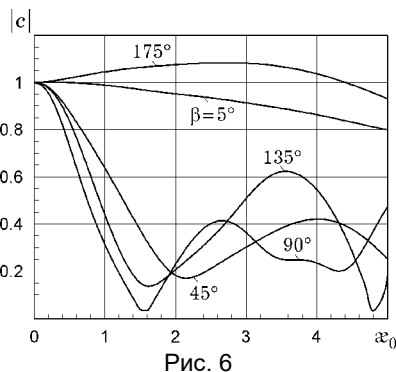


Рис. 6

**Висновки.** Побудовано числовий розв'язок задачі про визначення напружено-деформованого стану в околі тонкого жорсткого включення у вигляді ламаної при гармонічних коливаннях поздовжнього зсуву, що ґрунтується на наближеному методі розв'язання системи сингулярних інтегральних рівнянь з нерухомими особливостями. Врахування реальної особливості розв'язків і застосування до сингулярних інтегралів спеціальних квадратурних формул забезпечило швидку збіжність і стабільні числові результати в широкому частотному діапазоні. Отримані наближені формули для обчислення КІН і амплітуди коливань включення дали можливість дослідити вплив на їхні значення частоти коливань і конфігурації включення та встановити низку якісних ефектів. Вказано на наявність частот, за яких значення КІН і амплітуда коливання включення сягають максимуму.

1. Андреев А. В. Прямой численный метод решения сингулярных интегральных уравнений первого рода с обобщенными ядрами // Изв. РАН. Механика твердого тела. — 2005. — № 1. — С. 126–146.  
Te same: Andreev A. V. Direct numerical method for solving singular integral equations of the first kind with generalized kernels // Mech. Solids. — 2005. — 40, No. 1. — P. 104–119.
2. Афан Б. А. Об интегральных уравнениях с неподвижными особенностями в теории ветвящихся трещин // Докл. АН АрмССР. — 1984. — 79, № 4. — С. 177–181.
3. Васильев К. В., Пастернак Я. М., Сулим Г. Т. Поздовжній зсув безмежного тіла з тонким дволанковим пружним включенням // Вісн. Дон. нац. ун-ту. Сер. А. Природн. науки. — 2010. — № 2. — С. 55–63.
4. Крылов В. И. Приближенное вычисление интегралов. — Москва: Наука, 1967. — 500 с.
5. Литвин О. В., Попов В. Г. Взаємодія гармонічної хвилі поздовжнього зсуву з V-подібним включенням // Мат. методи та фіз.-мех. поля. — 2017. — 60, № 1. — С. 96–106.  
Te same: Lytvyn O. V., Popov V. H. Interaction of harmonic longitudinal shear waves with V-shaped inclusions // J. Math. Sci. — 2019. — 240, No. 2. — P. 113–128. — <https://doi.org/10.1007/s10958-019-04341-7>.
6. Литвин О. В., Попов В. Г. Напружений стан у пружному тілі з триланковим жорстким включенням при гармонічному хвильовому навантаженні // Проблеми обчисл. механіки та міцності конструкцій. — 2018. — Вип. 28. — С. 183–201.

7. Пастернак Я., Сулим Г. Плоска задача теорії пружності анізотропного тіла з тонкими гіллястими пружними включеннями // Вісн. Терноп. нац. техн. ун-ту. – 2011. – **16**, № 4. – С. 23–31.
8. Попов В. Г. Напружений стан навколо двох тріщин, що виходять з однієї точки при гармонічних коливаннях позадовжнього зсуву // Вісн. Київ. нац. ун-ту ім. Тараса Шевченка. Сер. Фіз.-мат. науки. – 2013. – Вип. 3. – С. 205–208.
9. Попов В. Г. Тріщина у вигляді триланкової ламаної під дією хвилі позадовжнього зсуву // Мат. методи та фіз.-мех. поля. – 2015. – **58**, № 1. – С. 112–120.  
Te same: Popov V. G. A crack in the form of a three-link broken line under the action of longitudinal shear waves // J. Math. Sci. – 2017. – **222**, No. 2. – P. 143–154. – <https://doi.org/10.1007/s10958-017-3288-5>.
10. Попов В. Г. Исследование полей перемещений и напряжений при дифракции упругих волн сдвига на тонком жестком отслоившемся включении // Изв. РАН Механика твердого тела. – 1992. – № 3. – С. 139–146.
11. Попов В. Г. Сравнение полей перемещений и напряжений при дифракции упругих волн сдвига на различных дефектах: трещина и тонкое жесткое включение // Динам. системы. – 1993. – Вып. 12. – С. 35–41.
12. Саврук М. П. Двумерные задачи упругости для тел с трещинами. – Киев: Наук. думка. 1981. – 324 с.
13. Сулим Г. Основи математичної теорії термопружної рівноваги деформівних твердих тіл з тонкими включеннями. – Львів: Досл.-вид. центр НТШ, 2007. – 716 с.
14. Vitek V. Plane strain stress intensity factors for branched cracks // Int. J. Fract. – 1977. – **13**, No. 4. – P. 481–501.
15. Yan X. Stress intensity factors for asymmetric branched cracks in plane extension by using crack-tip displacement discontinuity elements // Mech. Res. Commun. – 2005. – **32**, No. 4. – P. 375–384. – <https://doi.org/10.1016/j.mechrescom.2004.10.005>.

#### НАПРЯЖЕННОЕ СОСТОЯНИЕ УПРУГОГО ТЕЛА С ЖЕСТКИМ ВКЛЮЧЕНИЕМ В ВИДЕ ЛОМАНОЙ ЛИНИИ ПРИ ГАРМОНИЧЕСКОМ ВОЛНОВОМ НАГРУЖЕНИИ

Решена задача определения напряженного состояния в окрестности туннельного жесткого включения, которое в сечении представляет собой ломаную линию. Включение находится в упругом пространстве, в котором распространяются плоские гармонические волны продольного сдвига. Задача сведена к системе сингулярных интегральных уравнений с неподвижными особенностями, которая решена приближенно при помощи числового метода, учитывающего действительную асимптотику неизвестных функций с использованием специальных квадратурных формул для сингулярных интегралов.

**Ключевые слова:** упругое пространство, жесткое туннельное включение, системы сингулярных интегральных уравнений, неподвижные особенности.

#### THE STRESS STATE OF AN ELASTIC BODY WITH A RIGID INCLUSION WITH THE SHAPE OF A BROKEN LINE UNDER HARMONIC WAVE IMPACT

A problem on the determination of the stress state in the vicinity of a tunnel rigid inclusion with the cross-section in the form of a broken line is solved. The inclusion is located in an elastic space where plane harmonic waves of the longitudinal shift are propagating. The problem is reduced to a system of singular integral equations with fixed singularities, which was solved approximately by means of a numerical method taking into account the true asymptotic of the unknown functions and using special quadrature formulas for singular integrals.

**Key words:** elastic space, rigid tunnel inclusion, systems of singular integral equations, fixed singularities.